

محاسبه تهویه طبیعی ساختمان با استفاده از تحلیل حلقوی*

محمد مقیمان (۱)

فرزاد مرادی (۲)

چکیده در این مقاله تهویه طبیعی ساختمان با استفاده از تحلیل حلقوی یک بعدی محاسبه شده و اثر عوامل مختلف بر آن مورد بحث و بررسی قرار گرفته است. معادلات حاکم بر پایه موازن نیروهای شناوری و انتهاهای فشار اصطکاکی و موضوعی حول حلقه جریان توشه شده و برای امکان محاسبه اثر فشار باد و خاصیت دودکش در ساختهای با طبقات متعدد، به معادلات کلی بسط داده شده است. معادلات نشان می‌دهند که نرخ جریان تهویه، بسته به شرایط حاکم بر ساختمان، با توانهای مختلف گرمای دریافتی (دماه داخل) مناسب است: در حالت غالب بودن افت فشارهای مقاطع ورودی و خروجی بر افت فشار اصطکاکی با توان ۳۳/۰ در حالت غالب بودن افت فشار اصطکاکی با توان ۵/۰ و در حالت غالب بودن اثر باد با توان ۱. حل معادلات ساده و سریع است و برای ساختهای با فضاهای مختلف به علت تداخل متغیرهای حلقه‌ها حل با استفاده از روش تکرار انجام می‌شود. در حالت تهویه با جریان مشوش ضرب اصطکاک از یک رابطه تجربی تعیین شده است. اثر عوامل مختلف از جمله اندازه مقاطع ورودی و خروجی، گرمای دریافتی ساختمان (دماه هوای داخل)، سرعت و جهت باد و همچنین، پذیرای خاصیت دودکش بر تهویه طبیعی ساختمان مورد بررسی قرار گرفته است. مقایسه نتایج روش تحلیل حلقوی با نتایج مدل‌های تجربی رضایت‌بخش است.

واژه‌های کلیدی تهویه طبیعی، تحلیل حلقوی، اثر باد، اثر دودکش.

Computation of Natural Ventilation of Building Using Loop Analysis

M. Moghiman

F. Moradi

Abstract In this paper the flow rates in naturally ventilated buildings are calculated using one dimensional loop analysis in which the buoyancy forces are balanced by the pressure drops due to friction. The equations are extended to take into account the effects of wind and stack in multiple floor buildings. The procedure is straight forward and yields the zone air change rates without recourse to a complicated and time consuming calculation. Interaction between loops of multiple zone of multiple floor buildings requires iterations. For turbulent natural ventilation, the friction factor is determined from an experimental formulation. The results show that the ventilation air change rates depend on the net heat gain to the power 0.33 for entrance/exit duct domination over internal friction, 0.5 for internal friction dominated conditions, and 1 for wind dominated conditions. The results of the procedure also reveals the significant effects of inlet and outlet surface areas on the ventilation of naturally ventilated buildings. The comparison of loop analysis results with empirical methods shows good agreement.

Key Words Natural Ventilation, Loop Analysis, Wind Effect, Stack Effect.

* - نسخه اولیه مقاله در تاریخ ۱۵/۰۵/۸۰ و نسخه نهایی آن در تاریخ ۱۵/۰۴/۸۱ به دفتر نشریه رسیده است.

۱ - دانشیار گروه مکانیک، دانشکده مهندسی، دانشگاه فردوسی "مشهد"

۲ - گروه مکانیک، دانشکده مهندسی، دانشگاه فردوسی "مشهد"

است [7,8]. در مراجع [4,5] جابجایی طبیعی و انتقال حرارت در محفظه‌های بسته با مقطع مستطیلی در شرایط مرزی مختلف مورد مطالعه قرار گرفته است. مقایسه نتایج آزمایشگاهی و محاسباتی در مرجع [4] توانایی روش‌های محاسباتی را در پیشگویی جابجایی طبیعی در محفظه‌های بسته نشان می‌دهد. در مرجع [5] اورهان ایدین به روش عددی نشان داده است که در اعداد ریلی به اندازه کافی بزرگ، انتقال حرارت در محفظه بسته‌ای که دوجدار مجاور آن حرارت داده شوند، به صورت نوسانی انجام می‌شود. نتایج او نشان می‌دهد که با افزایش عدد پرانتل پیچیدگی تغییر شکل جریان بیشتر شده و جریان برای پایدار شدن به زمان بیشتری نیاز دارد. در مرجع [6] جابجایی طبیعی در محفظه بسته با شارژ حرارتی ثابت از جدار عمودی با استفاده از روش اجزاء محدود و نرم‌افزار Ansys مورد مطالعه قرار گرفته و اثر تغییر ضربی هدایت و گرانروی بر میدان‌های سرعت و دما و نیز بر انتقال حرارت، تجزیه و تحلیل شده است. در مرجع [7] مقالات ارائه شده در دومین همایش بین‌المللی تهويه در سال ۱۹۹۸ مورد بررسی و تجزیه و تحلیل قرار گرفته است. مقایسه تکنیکهای ارائه شده برای تهويه داخل ساختمان، نشان دهنده توجه پژوهشگران به روش‌های تهويه اجباری و استفاده از سیرکولاسیون و تصفیه هوای داخل با استفاده از وسائل مکانیکی می‌باشد. مرجع [8] کاهش تهويه طبیعی در اثر ایزولاسیون دقیقت ساختمانهای جدید و در نتیجه کاهش درزها و شکافها در پنجره‌ها و درها و همچنین، کاهش تعداد دودکشها را در ساختمانهای جدید مطرح کرده و به تهويه مکانیکی توجه بیشتری نموده است. روابط ارائه شده در مراجع برای محاسبه تهويه آزاد اغلب برای نمونه‌های ساده ساختمانها بوده و در برگیرنده تمام عوامل مؤثر بر آن نمی‌باشد [8,9]. برای استفاده از تهويه طبیعی در ساختمان لازم است

مقدمه

در بسیاری از کشورها مصرف انرژی در ساختمانها بیش از مصرف آن در فرآیندهای صنعتی و وسائل نقلیه است. مصرف بالای انرژی در سیستمهای گرمایش و تهويه مطبوع ساختمانها موجب شده است که همواره طراحان و مهندسان تکنیکهای جدیدی را برای کاهش مصرف انرژی مورد مطالعه قرار دهند [1,2,3]. در مرجع [1] با استفاده از روش تفاضل محدود نقش محفظه هوا در شیشه‌های دو جداره بر کاهش اتلاف حرارت از پنجره‌ها مورد مطالعه قرار گرفته است. نتایج بدست آمده اطلاعات لازم درباره الگوی جریان و خطوط همدما در داخل محفظه هوا و انتقال حرارت از این نوع پنجره‌ها را فراهم می‌کند. همچنین نتایج راهنمای مناسبی برای انتخاب اندازه‌های محفظه هوا (نسبت هم ارزی) جهت کاهش اتلاف انرژی حرارتی از هوای تخلیه (اگزون) شده از مکانهای مولد رطوبت و بومانند سرویسها و آشپزخانه ارائه می‌کند. تکنیک ارائه شده نشان می‌دهد که با استفاده از مبدل‌های حرارتی مناسب می‌توان حدود ۰٪ تا ۷۰٪ انرژی حرارتی اضافی به طریق فوق را بازیابی نمود. در مرجع [3] یک فرآیند برای کنترل رطوبت هوای داخل ساختمان با صرف انرژی بسیار کمتر نسبت به روش‌های معمول دیگر مورد مطالعه قرار گرفته است. در این تکنیک جذب رطوبت هوا با استفاده از وسائل کنترلی محدودتر و تولید صدای کمتر نسبت به سایر روشها انجام می‌شود.

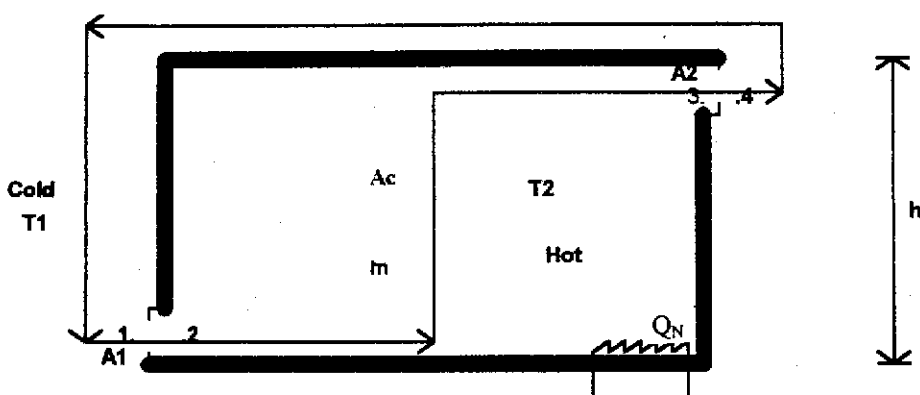
یکی از روش‌های کاهش مصرف انرژی و همچنین کاهش صدا در ساختمانها، استفاده از تهويه طبیعی بجای تهويه اجباری و مکانیکی است. اگرچه پژوهشگران مطالعات زیادی در مورد جریان طبیعی هوا در فضاهای بسته انجام داده‌اند [4,5,6] اما جابجایی طبیعی هوا بین فضاهای داخل و خارج کمتر مورد توجه قرار گرفته

حلقوی و بررسی اثر عوامل مختلف در تعداد تعویض هوای داخل ساختمان می‌باشد. در روش تحلیل حلقوی، مسیر جریان هوا در ساختمان به صورت یک تونل یا کانال بسته در نظر گرفته می‌شود و معادلات حاکم از موازنۀ نیروهای شناوری و افتتای فشار حول حلقه بدست می‌آید. در این مطالعه افزون بر عوامل اصلی موثر بر تهویه ساختمان مانند گرمای دریافتی ساختمان (اختلاف دمای هوای داخل و خارج) که نیروهای شناوری را ایجاد می‌کند، اثر باد که می‌تواند بر جابجایی هوا در ساختمان بسیار موثر باشد، و پدیده خاصیت دودکش که به علت اختلاف چگالی هوا در داخل ساختمان در زمستان موجب ورود هوا خارج از پائین و خروج هوای داخل از بالا می‌شود، عوامل دیگر مانند اندازه سطوح مقاطع ورودی و خروجی و سرعت و جهت باد نیز مورد بررسی قرار می‌گیرد.

محاسبه جریان گرم برای حلقه جریان
در شکل (۱) مقطع شماتیک ساختمان یک طبقه‌ای به ارتفاع h نشان داده شده است. دمای هوای سرد خارج از ساختمان با T_1 و دمای هوای گرم داخل ساختمان با T_2 مشخص شده است. خالص گرمای دریافتی ساختمان (Q_N)

طراحی ساختمان بر مبنای عوامل مؤثر بر جریان طبیعی هوا از جمله نیروهای شناوری، اثر باد، اندازه مقاطع جریان هوا و همچنین، اثر پدیده خاصیت دودکش صورت گیرد. نیروی شناوری حاصل از اختلاف دمای هوا در داخل و خارج ساختمان موجب برقراری جریان هوا از منفذ و خارج ساختمان می‌شود؛ بطوري که جریان هوا از منفذ و مقاطع یک طرف ساختمان وارد و از منفذ و مقاطع طرف دیگر آن خارج می‌شود. در تحلیل حلقوی، این جریان به صورت یک حلقه بسته در نظر گرفته می‌شود (شکل ۱). با توجه به اینکه در جریان حلقوی جمع جبری افت فشار حول حلقه بسته وقni در جهت ثابت حرکت کنیم صفر است [10]، رابطه‌ای بین نیروی شناوری و افتتای فشار اصطکاکی و موضعی به دست می‌آید. در طراحی تونلهای جاده‌ای که تمام یا بخش مهمی از تعویض هوای داخل آنها بوسیله تهویه طبیعی انجام می‌شود، از اثر نیروی شناوری و همچنین اثر باد حداقل استفاده به عمل می‌آید. در این تونلهای برای استفاده از نیروی شناوری، دو انتهای تونل در دو ارتفاع مختلف ساخته می‌شود و بطور معمول اثر باد نیز به تهویه طبیعی تونل کمک می‌کند.

هدف این مقاله بدست آوردن روابط حاکم بر جریان طبیعی هوا در ساختمان با استفاده از روش تحلیل



شکل ۱ حلقة جریان برای یک ساختمان ساده

$$(P_1 - P_2) + (P_3 - P_4) = gh(\rho_0 - \rho_2) - F \quad (5)$$

اگر فشارهای $(P_1 - P_2)$ و $(P_3 - P_4)$ را می‌توان بر حسب ضرایب تخلیه نوشت، با استفاده از رابطه $\Delta P = C(U^2/2)$ که در آن U سرعت متوسط هوا از مقاطع ورودی یا خروجی است، برای محاسبه U ، اگر سطح مقطع جریان را با A ، چگالی هوا در سطح مقطع A را با ρ و دمی جرمی در حلقه که طبق اصل بقاء جرم ثابت است، را با m نشان دهیم داریم: $U = (m/(A\rho))^{1/2}$. بنابراین معادله (۵) به شکل زیر در می‌آید:

$$\begin{aligned} gh(\rho_0 - \rho_2) &= \frac{1}{2} C_{d1} \frac{\rho_0 m^2}{\rho_0^2 A_1^2} + \frac{1}{2} C_{d2} \frac{\rho_2 m^2}{\rho_2^2 A_2^2} \\ &\quad - \frac{1}{2} f \frac{L}{D} \frac{\rho_0 m^2}{\rho_0^2 A_c^2} \end{aligned} \quad (6)$$

با توجه به اینکه جریان اساساً تراکم‌ناپذیر است در جملات افت فشار می‌توان از تغییر چگالی هوا در اثر تغییر فشار چشم‌پوشی کرد ($\rho_0 \approx \rho_2$)، البته چگالی هوا با تغییر دما تغییر می‌کند و با به کار بردن فرضیه بوسینسک در جمله شناوری داریم:

$$(\rho_0 - \rho_2) = \rho_0 \beta(T_2 - T_1) \quad (7)$$

که در آن $T = T_1 + T_2/2$ و $D = T_1 - T_2$ دمای مطلق بر حسب درجه کلوین است.

از معادله انرژی برای حجم کنترل فضای ساختمان داریم: $m c_p (T_2 - T_1) = Q_N$ بطوریکه می‌توان نوشت:

$$gh\beta(T_2 - T_1) = (gh\beta Q_N)/(mC_p) \quad (8)$$

که در آن β گرمای ویژه هوا است، بنابراین داریم:

$$m^2 = \frac{2\rho_0^2 gh \beta Q_N}{c_p \left[\frac{C_{d1}}{A_1^2} + \frac{C_{d2}}{A_2^2} + \frac{f(L/D_h)}{A_c^2} \right]} \quad (9)$$

معادله (۹) نشان می‌دهد در حالتیکه اصطکاک قابل

که موجب گرم شدن هوای داخل تا دمای T_2 می‌شود، مساوی با مجموع گرمایی‌های دریافتی شامل انرژی خورشیدی، حرارت حاصل از وسیله گرم‌کننده، گرمای سیستم روشنایی، گرمای حضور افراد و غیره منهای اتلاف حرارت از طریق جدار و جابجایی هوا به خارج می‌باشد. مقدار Q_N با توجه به بارهای حرارتی اشاره شده در بالا از روابط تهیه مطبوع برآورد می‌شود [۱۱]. در حلقه نشان داده شده در شکل (۱)، سطح مقطع هوا ورودی $(A_1 = A_2)$ و سطح مقطع هوا خروجی $(A_3 = A_4)$ سطح مقطع حجم کنترل (فضای داخل ساختمان) است. طبق اصل بقای جرم نرخ جریان جرم در طول حلقه ثابت است، در حالت ماندگار، طبق معادله اندازه حرکت نیروی شناوری حاصل از تغییر چگالی در اثر تغییر دما مساوی با مجموع افتهای فشار در طول حلقه می‌باشد. با توجه به آنچه در بالا آورده شد، موازنۀ فشار حول حلقه بسته می‌شود:

$$\Sigma \Delta P = (P_1 - P_2) + (P_2 - P_3) + (P_3 - P_4) + (P_4 - P_1) = 0 \quad (1)$$

اگر افت فشار اصطکاکی حاصل از واحد وزن هوا در عبور از داخل اتاق را با L_{2-3} نشان دهیم، با به کار بردن معادله بر نولی بین نقاط ۲ و ۳ داریم:

$$P_2 - P_3 = \rho_2 gh + F \quad (2)$$

که در آن ρ_2 چگالی هوا در دمای T_2 ، g شتاب نقل و $F = \rho_2 g h L_{2-3}$ می‌باشد. از طرفی می‌توان نوشت:

$$F = f(L/D_h) \rho_2 (U^2/2) \quad (3)$$

که در آن D_h قطر هیدرولیکی است. همچنین، با استفاده از معادله بر نولی بین نقاط ۱ و ۴ و با فرض اینکه چگالی هوا خارج ساختمان باشد، داریم:

$$P_4 - P_1 = \rho_0 gh \quad (4)$$

از جمع دو معادله (۲) و (۴) و تنظیم رابطه حاصل نتیجه می‌شود:

$$P'_1 = p_1 \pm \frac{1}{2} C_p \rho W_{out}^2 \quad (12)$$

و با توجه به اینکه $\rho_2 \approx \rho$ می‌توان نوشت:

$$gh\rho \beta \frac{Q_N}{mc_p} \pm \frac{1}{2} \rho C_p W_{in}^2 = \frac{1}{2} C_{d1} \frac{m^2}{A_1^2 \rho} +$$

$$\frac{1}{2} C_{d2} \frac{m^2}{A_1^2 \rho} + \frac{1}{2} f \frac{L}{D} \frac{m^2}{A_c^2 \rho} \pm \frac{1}{2} \rho C_p W_{out}^2 \quad (13)$$

در معادله (13) دیده می‌شود که ضریب فشار مثبت باد در ورود ($+C_p$) و ضریب فشار منفی (مکش) در خروج ($-C_p$) نرخ جریان جرم را افزایش می‌دهند. با تنظیم معادله (13) می‌توان شکل کلی معادله نرخ جریان جرم در حلقه منفرد را با درنظر گرفتن اثر باد به دست آورد:

$$m^2 \left[\frac{C_{d1}}{A_1^2} + \frac{C_{d2}}{A_1^2} + f \frac{L/D}{A_c^2} \right] - \rho m \left[\pm C_p W_{out}^2 \pm C_p W_{in}^2 \right] - \frac{2\rho g h \beta Q_N}{c_p} = 0 \quad (14)$$

معادله (14) یک معادله درجه سوم است که نشان می‌دهد برای فشارهای خیلی زیاد باد، نرخ جریان جرم متناسب با خالص گرمای دریافتی توسط فضای مورده نظر ($m \propto Q_N^{1/3}$) است و در صورت ثابت بودن Q_N نرخ جریان جرم با سرعت باد متناسب می‌باشد ($m \propto W$). سرعت متوسط باد تابعی از ارتفاع از سطح زمین است و افزون براین به موانع اطراف ساختمان بستگی دارد [8]:

$$W/W_r = \varphi H^\alpha \quad (15)$$

چشم پوشی باشد ($F=0$)، نرخ جریان جرم متناسب با ریشه سوم خالص حرارت دریافتی (Q_N) می‌باشد ($m \propto Q_N^{1/3}$). نرخ جریان جرم بر حسب عدد گراش فیزیکی می‌شود [12]:

$$m = \frac{1}{b} \sqrt{\frac{2G_{th}}{\frac{C_{d1}}{A_1^2} + \frac{C_{d2}}{A_1^2} + \frac{f(L/D_h)}{A_c^2}}} \quad (16)$$

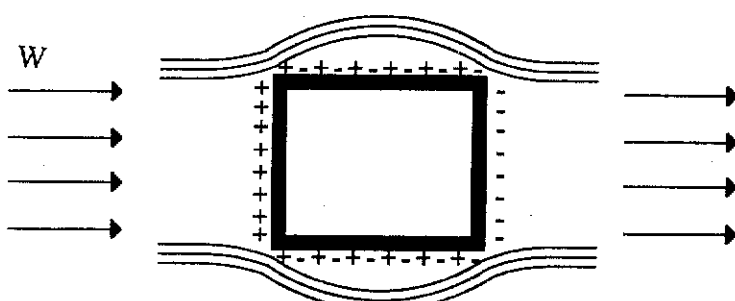
ترکیب نیروی شناوری و اثر باد

برخورد باد با ساختمان موجب افزایش فشار استاتیکی هوا در سطوح یک طرف ساختمان و کاهش آن در سطوح طرف دیگر می‌شود (شکل ۲). اختلاف فشار ایجاد شده جابجایی طبیعی هوا را از طریق درها و پنجره‌ها افزایش می‌دهد. متوسط فشار تولید شده از تغییر سرعت باد از رابطه زیر به دست می‌آید [8]:

$$Pw = \frac{1}{2} C_p W^2 \quad (11)$$

که در آن C_p ضریب فشار استاتیک و W سرعت باد (m/s) می‌باشد. مقدار C_p در هر نقطه از سطح ساختمان به هندسه ساختمان، سرعت و جهت باد و به موانع اطراف ساختمان بستگی دارد. مقادیر C_p برای ساختمانهای با هندسه ساده در مرجع [12] داده شده است. با درنظر گرفتن اثر باد، فشارهای کلی در مقاطع ورودی و خروجی ساختمان می‌شود:

$$P'_1 = p_1 \pm \frac{1}{2} C_p \rho W_{in}^2$$

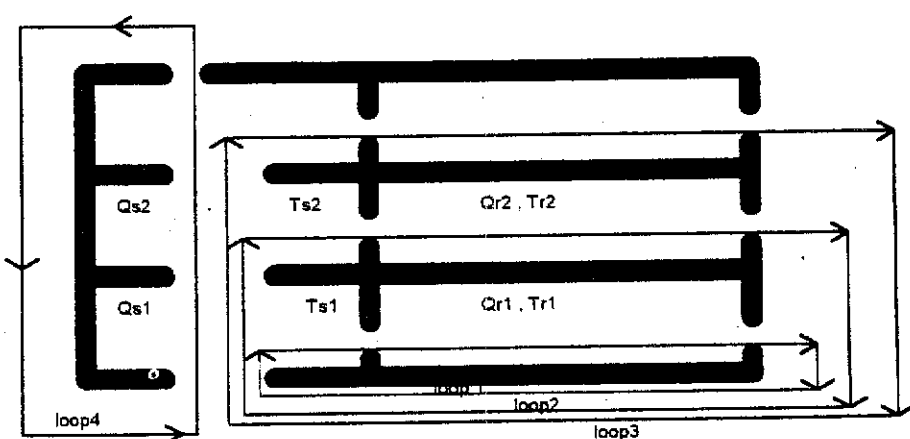


شکل ۲ اثر باد بر فشار استاتیکی سطوح ساختمان (نمای افقی)

دودکش معروف است موجب افزایش تهویه طبیعی در ساختمانها می‌شود. در شکل (۳) جریان مربوط به خاصیت دودکش با حلقه ۴ نشان داده شده است. نتیجه مهم خاصیت دودکش گرمتر شدن طبقات بالای ساختمان نسبت به طبقات پایینتر در اثر جریان بیشتر هوای گرم در آنها می‌باشد. اگر انشان دهنده طبقه اتاقها و زنان دهنده طبقات در مسیر راه پله باشد، در شکل (۳)، T_{n_i} دمای اتاق در طبقه i ، Q_{n_i} گرمای دریافتی اتاقهای طبقه i (جز گرمای دریافتی از خاصیت دودکش) و T_{e_i} دمای راه پله در طبقه i و Q_e گرمای حاصل از خاصیت دودکش در طبقه i راه پله است که در واقع این گرما به اتاقها داده می‌شود. چنانچه کل گرمای منتقل شده در اثر خاصیت دودکش مساوی Q_e باشد با توجه به آنچه بیان شد، حرارت دریافتی هر طبقه به نرخ جریان جرمی آن طبقه بستگی داشته و از رابطه $Q_{n_i} = Q_e (m_i/m)$ بدست می‌آید، و سطح مقطع جریان موثر مربوط به آن خواهد شد: $A_{n_i} = A_e$ که در آن A_e مقطع اصلی جریان مربوط به خاصیت دودکش است (معمولًاً مساوی مقطع افقی مسیر راه پله ساختمان). بنابراین، کل نرخ جریان جرمی هوا از اتاقهای ساختمان (یا حلقه ۴) با درنظر گرفتن اثر خاصیت دودکش

که در آن W سرعت متوسط باد (m/s) در ارتفاع H ، سرعت متوسط باد در ارتفاع مشخص از سطح زمین (معمولًاً ۱۰ متر) و ضرایب φ و α با توجه به شرایط موانع اطراف ساختمان تعیین می‌شوند [8]. در این مقاله برای φ و α ، به ترتیب، از مقادیر $0/33$ و $0/21$ استفاده شده است.

نرخ جریان جرم با درنظر گرفتن خاصیت دودکش تحلیل بیان شده برای حلقه منفرد ساختمان یک طبقه را می‌توان برای محاسبه نرخ جریان جرم در ساختمانها با طبقات متعدد بسط داد. در شکل (۳) برای هر یک از طبقات یک ساختمان چند طبقه که دارای گرمای خالص دریافتی متفاوت می‌باشند، یک حلقه مجزا در نظر گرفته شده است. در ساختمانها با طبقات متعدد در زمستان هوای گرم داخل ساختمان به علت کاهش دانسیته به طرف بالا حرکت می‌کند (به عنوان مثال از طریق راه پله) و در نتیجه فشار هوا در طبقات بالا افزایش و در پایین ساختمان کاهش می‌یابد. در اثر این تغییر فشار، هوای سرد خارج از قسمت پایین ساختمان وارد و هوای گرم داخل از منفذ طبقات بالا به خارج جریان پیدا می‌کند. این پدیده که به خاصیت



شکل ۳ حلقه‌های ساختمان با فضاهای مختلف

هــلندز [14] $\frac{R_e}{D_h} + \frac{0.059}{L/D_h}$ مــحــاسبــه
مــشــودــه.

معادله (۱۷) را مــیــتوــانــ به شــکــلــ $A_m^{\gamma} + B_m^{\gamma} - C = 0$ نوشت کــه یــکــ معــادــله درــجه ســومــ است. اــینــ معــادــله با استفاده اــزــ روــشــ نــیــوتــونــ - رــافــســونــ به تــرتــیــبــ برــایــ هــرــ یــکــ اــزــ حلــقــهــاــ حلــ مــشــودــه. با تــوــجــهــ به اــینــکــه گــرمــایــ مــنــتــقــلــ شــدــه توــســطــ خــاصــیــتــ دــوــدــکــشــ (Q_{si}) و هــمــچــنــینــ ســطــحــ مــقــطــعــ مــؤــثــرــ آــنــ (A_{si}) به نــرــخــ جــرــیــانــ جــرمــ طــبــقــهــ و نــیــزــ نــرــخــ جــرــیــانــ جــرمــ کــلــیــ (m) ســاخــتمــانــ بــســتــگــیــ دــارــدــ، نــرــخــ جــرــیــانــهــایــ جــرمــ تــصــحــیــجــ شــدــه اــزــ تــکــارــ حــلــ معــادــلهــ (۱۷) بــدــســتــ مــیــآــیدــ.

روابط نمونه‌های ساده تجربی

در مرجع [8] برای تهویه طبیعی و ضعیتها هندسی ساده ساختمان براساس استاندارد B.V.۵۹۲۵ [14] و نیز برپایه کتاب ASHRAE [9] روابطی تجربی داده شده است. در زیر دو رابطه از روابط یادشده کــه با هــنــدــســ ســاخــتمــانــ مــورــدــ مــطالــعــهــ در اــینــ مــقــالــهــ تــطــابــقــ بــیــشــترــیــ دــارــنــدــ، اــرــائــهــ و نــتــایــجــ آــنــها در بــخشــ بــرــوســیــ نــتــایــجــ با نــتــایــجــ تــحلــیــلــ حــلــقــوــیــ مقــاــبــهــ خــواــهــ دــشــدــ.

متــدــ استانــدارــدــ B.S.۵۹۲۵. در مرجع [8] رابطه زیر (در اینجا رابطه مذکور با توجه به علائم و مشخصات هندسه شکل‌های ۱ و ۲ نوشته مــیــشــودــ) برای نــرــخــ جــرــیــانــ حــجمــ تــهــوــیــ طــبــیــعــیــ ســاخــتمــانــ وقتــیــ فقطــ فــشارــ بــادــ وجودــ دــاشــتــهــ باــشــدــ، دــادــهــ شــدــهــ استــ:

$$Q_w = C_d \left(\frac{A_1 A_4}{A_1^{\gamma} + A_4^{\gamma}} \right)^{1/2} W (\Delta C_p) m^3/s \quad (19)$$

متــدــ اــشــرهــ. در مراجع [8,9] رابطه زیر برای نــرــخــ جــرــیــانــ حــجمــ تــهــوــیــ طــبــیــعــیــ ســاخــتمــانــ وقتــیــ اــثــرــاتــ بــادــ و نــیــروــیــ شــناــورــیــ وجودــ دــاشــتــهــ باــشــدــ، دــادــهــ شــدــهــ استــ:

از رابطه زیر بدست مــیــآــیدــ:

$$m_i^r = \frac{\rho g h \beta \left[\left(\sum_{n=1}^{n=j} Q_{sn} \right) + Q_{ri} \right]}{C_p \left[\left(\sum_{n=1}^{n=j} \frac{C_{dsn}}{A_{sn}^{\gamma}} \right) + \left(\sum_{n=1}^{n=j} \frac{f_{in} L}{A_{in}^{\gamma} D} \right) + \frac{C_{dri,1}}{A_{ri,1}^{\gamma}} + \frac{C_{dri,2}}{A_{ri,2}^{\gamma}} \right]} \quad (16)$$

با داشتن نــرــخــ جــرــیــانــ جــرمــ کــلــیــ (m) مــیــتوــانــ اــزــ معــادــلهــ (۱۶) نــرــخــ جــرــیــانــ جــرمــ هــرــ طــبــقــهــ رــاــ اــزــ حلــ مــســتــقــیــمــ معــادــلهــ بالــاــ بــدــســتــ آــورــدــ.

معادله کــلــیــ تــهــوــیــ طــبــیــعــیــ

اــگــرــ اــثرــ جــرــیــانــ بــادــ بــرــ تــهــوــیــ طــبــیــعــیــ ســاخــتمــانــهــایــ بــلــنــدــ نــیــزــ در نــظرــ گــرفــتــهــ شــودــ، معــادــلهــ (۱۶) به شــکــلــ کــلــیــ زــیرــ نــوــشــتهــ مــیــشــودــ:

$$m_i^r \left[\left(\sum_{n=1}^{n=j} \frac{C_{dsn}}{A_{sn}^{\gamma}} \right) + \sum_{n=1}^{n=j} \frac{f_{in} L}{A_{in}^{\gamma} D} + \frac{C_{dri,1}}{A_{ri,1}^{\gamma}} + \frac{C_{dri,2}}{A_{ri,2}^{\gamma}} \right] - \rho g m_i \left[\pm C_{pout} W_{out}^{\gamma} \pm C_{pin} W_{in}^{\gamma} \right] \times \frac{\gamma h \rho g \beta \left[\left(\sum_{n=1}^{n=j} Q_{sn} \right) + Q_{ri} \right]}{C_p} = 0 \quad (17)$$

در حالت عدم وجود اثر بــادــ، جــرــیــانــ هــواــ در دــاخــلــ ســاخــتمــانــ آــرامــ فــرضــ مــیــشــودــ و ضــرــیــ اــصــطــکــاــ (f) اــزــ رــابــطــهــ $R_e = f D_h / (m/\rho A_g)$ کــهــ در آــنــ $f = 64/R_e$ مــیــ باــشدــ، محــاسبــهــ مــیــ گــرــددــ. بنــابرــاــنــ دــارــیــ:

$$F = \left[64/(m/\rho A_g) D_h / v \right] (L/D_h) \rho U^2 / 2 \quad (18)$$

اــگــرــ درــ معــادــلهــ (۹) بــجــایــ fــ مــقــدــارــ قــوــازــ دــهــیــمــ، یــکــ معــادــلهــ درــجهــ دــوــمــ بــرــ حــســبــ mــ بــدــســتــ مــیــ آــیدــ و چــنانــچــهــ اــثرــ مقــاطــعــ ورــودــیــ و خــرــوــجــیــ نــاــچــیــزــ باــشــدــ و اــیــســتــگــیــ بهــ Q_N مــیــشــودــ: $m = Q_N^{1/5}$ در حالت وجود اثر بــادــ، جــرــیــانــ هــواــ مــغــشــوــشــ فــرــضــ شــدــهــ و مــقــدــارــ fــ اــزــ رــابــطــهــ پــیــشــنــهــادــ شــدــهــ بــوــســیــلــهــ

باشد تهویه طبیعی به مقدار قابل توجهی کاهش می‌یابد. در شکل (۵) اثر گرمای دریافتی (دماهی داخل) بر نرخ تعویض هوای طبقه برای مقادیر مختلف مقاطع جریان نشان داده شده است (مساحت مقاطع ورودی و خروجی مساوی است). مشاهده می‌شود با افزایش گرمای خالص دریافتی یا در واقع افزایش دماهی داخل ساختمان، نرخ تعویض افزایش پیدا می‌کند. همچنین دیده می‌شود برای اتاق مورد نظر، مساحت ۱ متر مربع برای سطوح مقاطع ورودی و خروجی، جریان نسبتاً کمی را اجازه می‌دهند و چنانچه سطوح یادشده بیش از ۳ متر مربع باشد، افزایش سطح آنها اثر قابل توجهی بر تهویه طبیعی ندارد. این نتایج با ملزومات ارائه شده در استاندارد B.S. ۵۹۲۵ در مورد اثر اندازه پنجره‌ها بر تهویه طبیعی فضاهای مطابقت دارد [۱۵].

در شکل (۶) اثر گرمای خالص دریافتی (دماهی داخل) بر نرخ تعویض هوای داخل طبقات مختلف ساختمان با درنظر گرفتن خاصیت دودکش نشان داده شده است (اندازه سطوح مقاطع ورودی و خروجی برای هر یک از طبقات ۱ متر مربع و سرعت باد صفر است). مشاهده می‌شود با افزایش گرمای خالص دریافتی، نرخ تعویض هوای جابجایی آزاد در طبقات ساختمان افزایش می‌یابد. همچنین دیده می‌شود نرخ تعویض هوای طبقات بالاتر بیشتر است که علت آن اثر خاصیت دودکش می‌باشد. البته باید توجه داشت که اثر خاصیت دودکش در ساختمنهای با تعداد طبقات زیاد (با ارتفاع بیش از ۳۰ متر) قابل توجه است. در این مطالعه از مدل ساختمان سه طبقه با فرض وجود خاصیت دودکش استفاده شده است، که به علت کوتاه بودن ساختمان اثر دودکش قابل توجه نمی‌باشد.

شکل (۷) اثر اندازه در ارتباطی طبقه به راه پله را بر نرخ تعویض هوای داخل به روشن تهییه طبیعی در طبقات مختلف نشان می‌دهد (سرعت باد صفر است). ارتباط فضای طبقه به راه پله موجب می‌شود که جریان

$$Q = A\sqrt{(a\Delta T + bW^2)} \quad m^3/hr \quad (20)$$

که در آن A سطح مقطع جریان هوا (سطوح مقاطع ورودی و خروجی بکسان) بر حسب سانتیمتر مربع، a ضریب دودکش، b ضریب باد، ΔT اختلاف دماهی داخل وخارج (K) و W سرعت باد (m/s) است. مقادیر a و b برای طبقات مختلف ساختمان در مرجع [۸] داده شده است. برای ساختمان سه طبقه مقدار a مساوی $125Kw^{-1}cm^{-4}$ و b مقدار $640m^4s^2hr^{-2}cm^{-4}$ می‌باشد.

بررسی نتایج

محاسبات برای یک ساختمان سه طبقه با ارتفاع هر طبقه ۳ متر (مساحت هر طبقه ۲۰۰ متر مربع) و حرارت خالص دریافتی هر متر مربع ساختمان $125Kw$ (یعنی حرارت دریافتی یک اتاق به مساحت ۱۲ متر مربع $1/5Kw$) در شرایط مختلف انجام شده است. اختلاف دماهی داخل و خارج $25^\circ C$ می‌باشد. ابتدا محاسبات برای فضای طبقه همکف انجام می‌شود و اثر باد در نظر گرفته نمی‌شود. با توجه به اینکه به علت عدم وجود باد سرعت جریان هوا در داخل ساختمان کم است و می‌توان انتظار داشت که افت فشار در مقاطع ورود و خروج هوا در مقابل افت فشار حاصل از اصطکاک داخلی قابل توجه باشد، در شکل (۴) اثر اندازه سطوح مقاطع ورودی و خروجی بر نرخ یا تعداد تعویض هوای داخل در ساعت مطالعه قرار گرفته است. در شکل، مقطع خروجی با A_x مشخص شده است. مشاهده می‌شود در صورتیکه سطح یکی از دو مقطع (ورودی یا خروجی) کوچک باشد، نرخ تعویض هوا تابع آن (کم) خواهد بود و برای افزایش نرخ جریان تهییه طبیعی لازم است سطوح مقاطع ورودی و خروجی با هم افزایش پیدا کنند. همچنین دیده می‌شود اگر اندازه مقطع ورودی یا مقطع خروجی برای اتاق مورد نظر از حد معینی کمتر

متد استاندارد B.S. ۵۹۲۵ برای حالتی که فقط اثر باد عامل جابجایی هوای داخل ساختمان (طبقه اول) باشد، مقایسه شده است. سطوح مقاطع ورودی و خروجی 1m^2 می‌باشد. مشاهده می‌شود که نتایج دو روش بونویه در سرعتهای پایین باد بسیار بهم نزدیک می‌باشد. در واقع، روش تحلیل حلقوی تعداد تعویض هوای داخل ساختمان را در تمام مقادیر سرعتهای باد قدری کمتر از روش استاندارد B.S. ۵۹۲۵ محاسبه کرده است. حداقل اختلاف مقادیر محاسبه شده بوسیله دو روش حدود ۱۵٪ است.

در شکل (۱۱) نتایج مدل تحلیل حلقوی با نتایج متد تجربی اشرف برای حالتی که ترکیب اثرات باد و نیروی شناوری هر دو اعمال شود، مقایسه شده است. محاسبات برای طبقه سوم ساختمان، سرعت باد 4 m/s بر ثانیه و اندازه سطوح مقاطع ورودی و خروجی یکسان هوا انجام شده است. مقایسه دو روش نشان می‌دهد که بطور کلی روش تحلیل حلقوی تهویه طبیعی را بسیار بیشتر (بیش از حدود ۱۰٪) از متد اشرف محاسبه می‌کند. علت اختلاف نتایج دو مدل می‌تواند وجود ضرایب ثابت تجربی اثر دودکش و اثر باد در روش اشرف باشد. با توجه به اینکه خاصیت دودکش و رفتار باد به پارامترهای زیادی از جمله شرایط هندسی ساختمان بستگی دارد، استفاده از ضرایب ثابت برای ساختمانهای مختلف منطقی بنظر نمی‌رسد. بررسی دو شکل (۱۰ و ۱۱) نشان می‌دهد که مدل حلقوی نتایجی بین دو متد استاندارد B.S. ۵۹۲۵ و اشرف و البته بسیار نزدیکتر به نتایج متد استاندارد، محاسبه می‌کند.

نتیجه گیری

برپایه تحلیل حلقوی یک بعدی و در نظر گرفتن اثر عوامل مختلف، روابط ساده‌ای برای محاسبه و تجزیه و تحلیل تهویه طبیعی ساختمان ارائه شده است. معادلات حاکم از موازنۀ نیروهای شناوری و افتهاي فشار اصطکاکي و

حاصل از خاصیت دودکش وارد اتفاقها شده و تهویه طبیعی طبقه را افزایش دهد. همانگونه که انتظار می‌رود، مشاهده می‌شود که افزایش سطح مقطع ارتباطی موجب افزایش نرخ جریان تهویه طبیعی می‌شود و این افزایش در ابتدای افزایش سطح دارای شدت بیشتری می‌باشد.

شکل (۸) اثر سرعت باد را بر تعداد تعویض هوای داخل هر یک از سه طبقه ساختمان نشان می‌دهد (محاسبات برای سطوح مقاطع ورودی و خروجی 1 m^2 مربع انجام شده است). مشاهده می‌شود سرعت باد اثر قابل توجهی بر افزایش نرخ تعویض هوا در اثر تهویه طبیعی در داخل ساختمان دارد. با توجه به اینکه ساختمان سه طبقه است، سرعت باد مقادیر نسبتاً کمی دارد. بدینهی است در طبقات بالاتر ساختمان که سرعت باد بیشتر است، می‌تواند اثرات بیشتری بر جریان طبیعی هوا در داخل ساختمان داشته باشد.

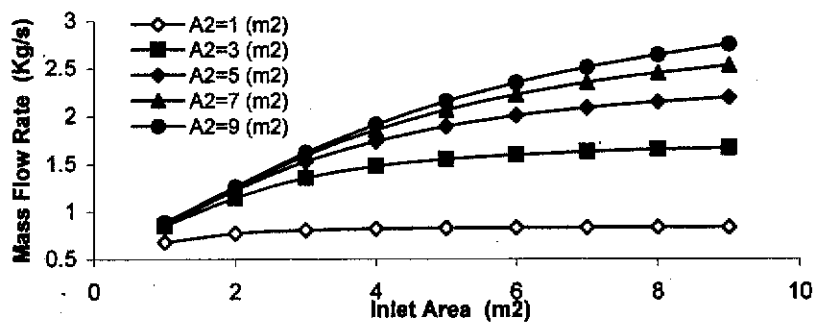
شکل (۹) اثر مقدار و جهت سرعت باد را بر نرخ جریان تهویه طبیعی برای دو حالت نشان می‌دهد: در حالت اول باد مستقیماً بر ورودی ساختمان برخورد می‌کند (فشار استاتیکی در مقطع ورودی ساختمان ثابت)، در حالت دوم جهت باد عکس می‌باشد (فشار استاتیکی در سطح ورودی منفی). محاسبات برای طبقه اول ساختمان سه طبقه با در نظر گرفتن اثر خاصیت دودکش انجام شده است. مشاهده می‌شود در حالت اول، برخورد باد با ساختمان موجب افزایش نرخ جریان طبیعی هوا می‌شود در حالیکه در حالت دوم جریان معکوس باد نه تنها تهویه طبیعی را افزایش نمی‌دهد بلکه تهویه طبیعی ناشی از نیروی شناوری و خاصیت دودکش را نیز کاهش می‌دهد.

برای ارزیابی نتایج مدل حلقوی، در شکل‌های (۱۰ و ۱۱) نتایج این مدل با نتایج روابط تجربی ارائه شده در مرجع [8] برای نمونه‌های ساده از هندسه ساختمانها مقایسه شده است. در شکل (۱۰) نتایج روش تحلیل حلقوی با نتایج

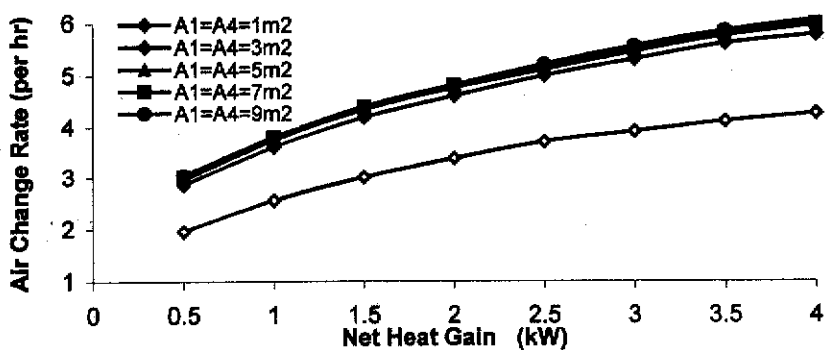
g (m/s ²)	شتاب ثقل	موضعی بدست آمده و برای محاسبه اثرات باد و خاصیت
G_{rh}	عدد گراش	دودکش در ساختمانهای با طبقات متعدد بسط داده شده
h (m)	ارتفاع ساختمان	است. روابط بدست آمده چگونگی ارتباط نرخ جریان هوا
h_L (m)	افت ارتفاع اصطکاکی	در تهویه طبیعی ساختمان را به عوامل مختلف از جمله
H (m)	ارتفاع از سطح زمین	گرمای خالص دریافتی (دمای داخل)، سرعت و جهت باد،
i	شماره طبقات	اندازه مقاطع ورودی و خروجی، و افتهای اصطکاکی و
j	شماره طبقات در مسیر راه پله	موقعی نشان می دهد. با توجه به اینکه کاربرد تهویه
L (m)	طول مسیر برای جریان هوا	طبیعی در ساختمان مصرف انرژی و تولید صدا را به مقدار
m (m ³ /s)	جریان حجمی هوا	قابل توجهی کاهش می دهد، استفاده از تحلیل حلقوی
P (N/m ²)	فشار استاتیکی	بوسیله طراح ساختمان امکان بررسی سریع طرحهای
P_w (N/m ²)	فشار باد	مختلف و انتخاب طرح بهینه را فراهم می کند. نتایج نشان
P' (N/m ²)	فشار کلی	می دهد سه عامل: دمای داخل (گرمای دریافتی)، سرعت
Q_N (W)	خالص گرمای دریافتی ساختمان	باد (مقدار و جهت باد) و اندازه مقاطع ورودی و خروجی
$Q_{\dot{n}}$ (W)	خالص گرمای دریافتی طبقه n	نقش بسیار مهمی در تهویه طبیعی ساختمان دارد. مقایسه
$Q_{\dot{n}i}$ (W)	گرمای دودکش در طبقه i	نتایج مدل حلقوی با دو متد استاندارد B.S.5925 و اشره
Q_s (W)	کل گرمای دودکش	برای ساختمانهای ساده نشان می دهد نتایج بدست آمده از
R_e	عدد رینالذ	تحلیل حلقوی بین نتایج دو متد یادشده قرار دارد ولی به
T (K)	دمای متوسط	مدل استاندارد بسیار نزدیک می باشد.
T_1 (K)	دمای هوای خارج	
T_2 (K)	دمای هوای داخل	
T_{ri} (K)	دمای هوای اتاق در طبقه i	ضریب دودکش
T_{sj} (K)	دمای راه پله در طبقه j	سطح مقطع جریان
U (m/s)	سرعت متوسط هوای داخل	سطح مقطع اتاق
W (m/s)	سرعت متوسط باد	سطح مقطع دودکش
W_r (m/s)	سرعت متوسط باد در ارتفاع مشخص	ضریب باد
α	ضریب موانع مسیر باد.	ضریب افت
β (1/K)	معکوس دمای متوسط	گرمای ویژه
ρ (kg/m ³)	چگالی جرمی هوا	ضریب فشار استاتیک
ρ_o (kg/m ³)	چگالی جرمی هوای خارج	قطر هیدرولیکی
ρ_i (kg/m ³)	چگالی جرمی هوای داخل	ضریب اصطکاک
φ	ضریب موانع مسیر باد	افت فشار اصطکاکی

فهرست علامت

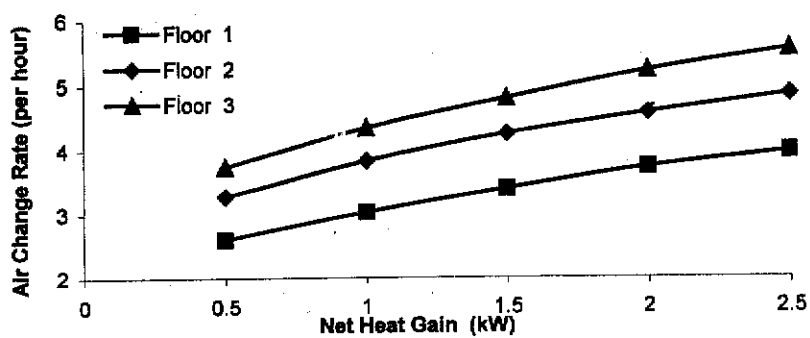
a (m ⁶ hr ⁻² cm ⁻⁴ K ⁻¹)	ضریب دودکش
A (m ²)	سطح مقطع جریان
A_c (m ²)	سطح مقطع اتاق
A_g (m ²)	سطح مقطع دودکش
b (m ⁴ s ³ hr ⁻² cm ⁻⁴)	ضریب باد
C_d	ضریب افت
c_p (J/kg.K)	گرمای ویژه
C_p	ضریب فشار استاتیک
D_h (m)	قطر هیدرولیکی
f	ضریب اصطکاک
F (N/m ²)	افت فشار اصطکاکی



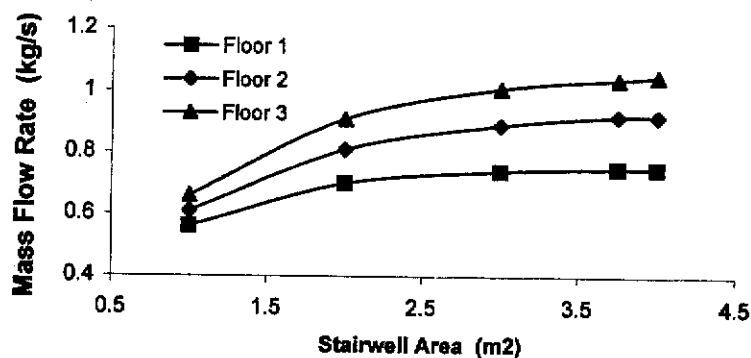
شکل ۴ اثر مساحت مقاطع ورودی و خروجی بر تعداد تعمیض هوا در ساعت



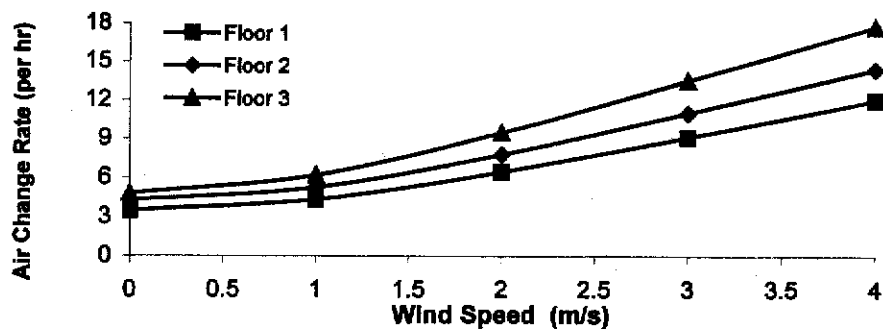
شکل ۵ اثر گرمای دریافتی خالص (دماهی داخل) بر تعداد تعمیض هوا در ساعت



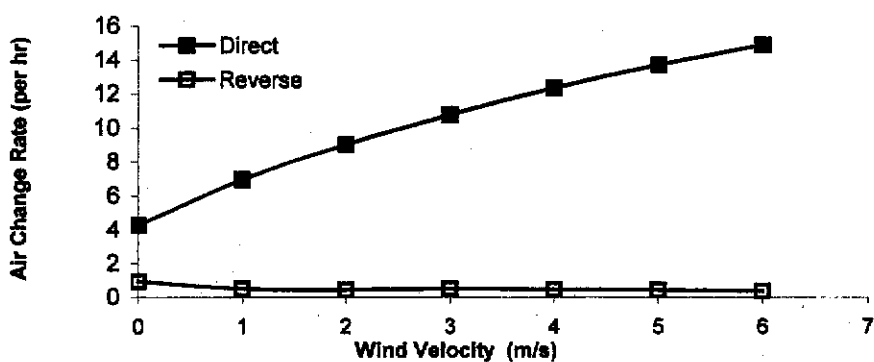
شکل ۶ اثر گرمای دریافتی (دماهی داخل) بر تعداد تعمیض هوا در طبقات مختلف



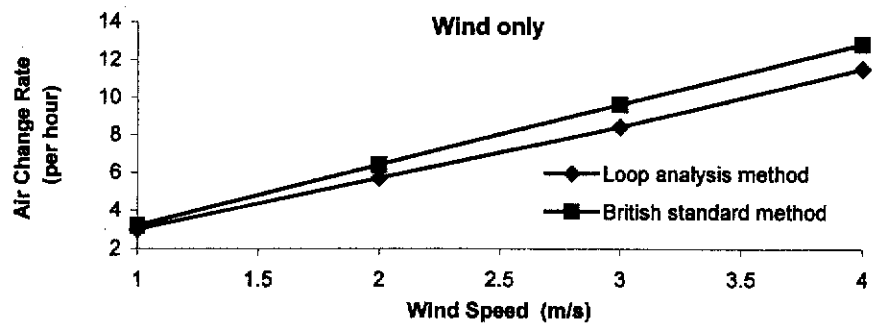
شکل ۷ اثر مساحت در ارتباطی راه پله با طبقه بر تعداد تعویض هوا در داخل



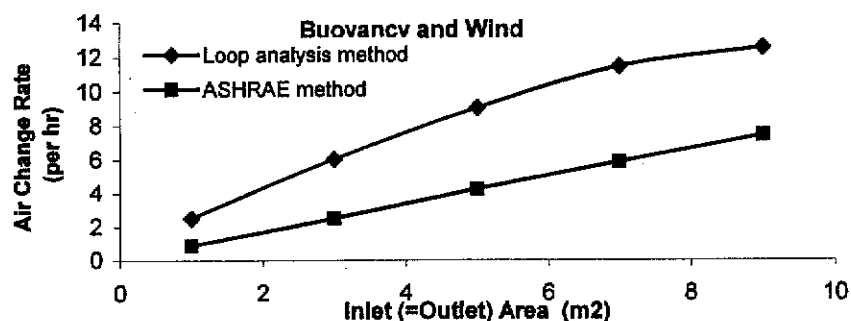
شکل ۸ اثر سرعت باد بر تعداد تعویض هوا در ساعت



شکل ۹ اثر جهت باد بر تعداد تعویض هوا در داخل طبقه اول



شکل ۱۰ مقایسه نتایج روش تحلیل حلقوی با روش استاندارد BS۵۹۲۵



شکل ۱۱ مقایسه نتایج روش تحلیل حلقوی با روش ASHRAE

مراجع

1. Korpela, S. A., Lee, Y., and Drummond, J. E, "Heat transfer through a double pane window", *Journal of Heat Transfer*, Vol. 104, pp. 539-544, (1982).
2. Awbi, H. B., and Allwinkle, S. J, "Domestic ventilation with heat recovery to improve indoor air quality", *Energy Build*, 9, 305-12, (1986).
3. Crooks, K. W., and Banks, N. J, "Controlling rotary desiccant wheels for dehumidification and cooling", *ASHRAE Transactions*, Vol. 102, No. 2, pp. 633-638, (1996).
4. Bauman, F., Gadgil, A., Kammerud, R., and Grief, R, "Buoyancy driven convection in rectangular enclosures: Experimental results and numerical calculations", *ASME Paper*, No. 80, HT- 66, (1980).

5. Aydin, O, "Transient natural convection in rectangular enclosures heated from one side and cooled from above", *International Communications in Heat and Mass Transfer*, Vol. 26, No. 1, pp. 135-144, (1999).
6. Emery, A. F., and Lee, J. W, "Effects of property variations on natural convection in a square enclosure", *ASME Trans., J. Heat Transfer*, Vol. 121, No. 1, pp. 57-62, (1999).
7. Goodfellow, H. D, "Key note address: Ventilation-past present and future", Proc. 2nd, Int. Symp. On *Ventilation for Contaminant Control (Ventilation' 88)*, London (1988).
8. Awbi, H. B, "*Ventilation of Buildings*", Chapman and Hall, London, (1991).
9. *ASHRAE Fundamental Handbook*, Ch. 22 Natural Ventilation and infiltration, American Society of Heating, Refrigeration and Air-Conditioning Engineers, Atlanta, G. A., (1985).
10. Streeter, V. L., Wylie, B. E., and Bedford, K. W., "*Fluid Mechanics*", 9th ed., McGraw Hill, (1998).
11. Jones, W. P, "*Air Conditioning Engineering*", 4 th, Edition, Edmunds bury press, (1996).
12. Incropera, F. P., and DeWitt, D. P, "*Fundamentals of Heat and mMass Transfer*", 4th Edition, John Wiley & Sons, (1996).
13. Liddament, M. W, "*Air Infiltration Calculation Techniques-An Application Guide*", Air Infiltration Center, Coventry, UK, (1986).
14. Hollands, H. G., and Schewen, E. C, "Optimization of flow passage geomotry for air-heating, plate-type solar collectors", *Journal of Solar Energy Engineering*, Vol. 103, pp. 323-330, (1981).
15. B.S.5925 Code of practice for design of buildings: Ventilation principles and designing for natural ventilation, British Standards Institution, London, (1980).